

鹿島建設技術研究所 正員 ○三村 長二郎

" " 森光 康夫

" " 竹田 哲夫

**1 まえがき** 近年、シーバースが各地で築造されるようになり、だが、従来そのほとんどは沿岸地帯港内にかけたものであった。しかし船舶の大型化あるいは工場の立地条件の関係から、外洋の波浪を直接受けた沖合にも建造する要求がでてきた。こうした外洋シーバースでは、係留中の船体がうねりを受けて動搖した時に生じる衝撃力が設計上重要な外力となる。ただし、この種の衝撃力に関する研究はまだ少なく、例えば船体が横波を受ける時に生じる衝撃力を水槽実験で補いながら解析した永井の研究<sup>(1)</sup>、入射波の入射角が考慮されていても船体は固定された隣接柱体と共にして解析した金田の研究<sup>(2)</sup>、また水槽実験で実験的に調べた谷本の研究<sup>(3)</sup>等が挙げられる程度である。そのためこうした外洋シーバースの設計を行ない、また発展させていくには、この種の衝撃力に関して種々の面からまだ多くの研究が必要である。ここではこのような観点から衝撃力を解析する方法と検討してみたい。すなはち比較的大きな衝撃力がもたらされる場合の船体の運動は、入射波による強制振動と、防舷材～係留索～復元力系での自由振動から成るものとして扱へ、そして船体、防舷材、係留索の運動を解析し、その結果としてフレンクードルフィンに作用する衝撃力、それとマリントードルフィンに作用する引力を求めようとするものである。

**2 解析方針と運動方程式** この種の衝撃力は船体が横波を受ける場合に最も著しく、波向の船軸方向に偏るにつれて緩和されてくる。前者の場合には係留可能な波浪条件の限界と評価するのに重要であり、後者は係留可能日数の評価において重要である。ただし係留構造的方面から主に制約を受けるのは横波であるがために、この場合と異なるので、ここでは前者の場合を解析の対象とする。振動系は船体、水、防舷材、係留索を考慮し、ドルフィンは一般に稍んど影響しないので振動系には考慮しない。船体の運動はヒービング、スエイング、ローリングの3軸を、またこれらとの運動と相互作用する水の運動は、船の長さが十分長く船首尾方向の回折波の影響が僅少と見て2次元問題として扱う。そこで座標系を図-1のように選び、そして上に述べた強制振動と自由振動の成分は、それと船体座標系における運動(  $x_f, z_f, \theta$  )および構造物座標系における運動(  $x_s, z_s$  )として考慮する。その場合防舷材と係留索の復元力特性は著しく相違するので、運動方程式は以下に示すように、i) 船体～防舷材から離れていた状態と、ii) 船体～防舷材を押していた状態に分けて設定する。

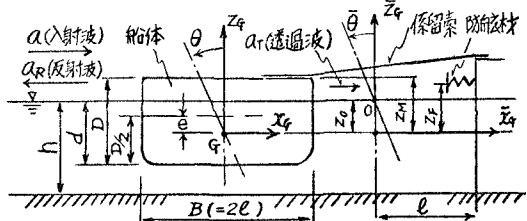


図-1 座標系と運動成分

i)  $\{(x_f - z_f \theta) + (\bar{x}_f - \bar{z}_f \bar{\theta})\} < 0$  の状態；

$$\begin{bmatrix} M_0 \\ M_0 \\ I_{0y} \end{bmatrix} \left( \begin{bmatrix} \ddot{z}_f \\ \ddot{x}_f \\ \ddot{\theta} \end{bmatrix} + \begin{bmatrix} \ddot{\bar{z}}_f \\ \ddot{\bar{x}}_f \\ \ddot{\bar{\theta}} \end{bmatrix} \right) + \begin{bmatrix} W \\ d \\ KM, -ZMKM \\ -ZMKM, ZMKM + WGM \end{bmatrix} \left( \begin{bmatrix} z_f + z_0 \\ x_f \\ \theta \end{bmatrix} + \begin{bmatrix} \bar{z}_f + \bar{z}_0 \\ \bar{x}_f \\ \bar{\theta} \end{bmatrix} \right) - \begin{bmatrix} 0 \\ F_0 \\ -ZMF_0 \end{bmatrix} = \begin{bmatrix} P_{He} \\ P_{sw} \\ P_{Ro} \end{bmatrix} + \begin{bmatrix} Q_{He} \\ Q_{sw} \\ Q_{Ro} \end{bmatrix}; \quad (1)$$

ii)  $\{(x_f - z_f \theta) + (\bar{x}_f - \bar{z}_f \bar{\theta})\} > 0$  の状態；

$$\begin{bmatrix} M_0 \\ M_0 \\ I_{0y} \end{bmatrix} \left( \begin{bmatrix} \ddot{z}_f \\ \ddot{x}_f \\ \ddot{\theta} \end{bmatrix} + \begin{bmatrix} \ddot{\bar{z}}_f \\ \ddot{\bar{x}}_f \\ \ddot{\bar{\theta}} \end{bmatrix} \right) + \begin{bmatrix} W \\ d \\ KF, -Z_F KF \\ -Z_F KF, Z_F^2 KF + WGM \end{bmatrix} \left( \begin{bmatrix} z_f + z_0 \\ x_f \\ \theta \end{bmatrix} + \begin{bmatrix} \bar{z}_f + \bar{z}_0 \\ \bar{x}_f \\ \bar{\theta} \end{bmatrix} \right) - \begin{bmatrix} 0 \\ F_0 \\ -Z_F F_0 \end{bmatrix} = \begin{bmatrix} P_{He} \\ P_{sw} \\ P_{Ro} \end{bmatrix} + \begin{bmatrix} Q_{He} \\ Q_{sw} \\ Q_{Ro} \end{bmatrix}; \quad (2)$$

ここで、  $M_0, I_{0y}$  は船体の質量および質量慣性モーメント、  $KM, F_0$  は係留索のばね定数および初期張力、また

$K_F$  は防舷板のバネ定数、 $W$  は船体重量、 $G_M$  は重心高、 $P$  は  $(x_g, \theta)$  振動成分に関する波力および造波抵抗、 $Q$  は  $(\bar{x}_g, \bar{\theta})$  振動成分に関する造波抵抗である。

ところで、ヒーピングはスエイング・ローリングと連成さざる程でもなく、まだ衝撃力および干渉力を求める上では関係しないので、以下スエイング・ローリングについて説述する。そして保留対象船舶として 15~25t DWT タンカーを想定し、船体の慣性力あるいは復元モーメントと、防舷板および保留索の復元力と比較すると、(1) 式および(2)式には定量的にほとんど影響しない要素がある。したがってこれらを除いて運動方程式を簡略化し、さらに  $(x_g, \theta)$  と  $(\bar{x}_g, \bar{\theta})$  振動成分の分離とはかること次のようになる。

$$\text{i) の状態; } \begin{bmatrix} M_0 \\ I_0 \end{bmatrix} \begin{bmatrix} \ddot{x}_g \\ \dot{\theta} \end{bmatrix} + \begin{bmatrix} O \\ WGM \end{bmatrix} \begin{bmatrix} x_g \\ \theta \end{bmatrix} = \begin{bmatrix} P_{sw} \\ P_{ro} \end{bmatrix} \quad \dots \dots \dots (3)$$

$$\begin{bmatrix} M_0 \\ I_0 \end{bmatrix} \begin{bmatrix} \ddot{\bar{x}}_g \\ \dot{\bar{\theta}} \end{bmatrix} + \begin{bmatrix} K_m - z_m K_m \\ 0, WGM \end{bmatrix} \begin{bmatrix} \bar{x}_g \\ \bar{\theta} \end{bmatrix} - \begin{bmatrix} F_0 \\ 0 \end{bmatrix} = \begin{bmatrix} Q_{sw} \\ Q_{ro} \end{bmatrix} \quad \dots \dots \dots (4)$$

$$\text{ii) の状態; } \begin{bmatrix} M_0 \\ I_0 \end{bmatrix} \begin{bmatrix} \ddot{x}_g \\ \dot{\theta} \end{bmatrix} + \begin{bmatrix} K_F - z_F K_F \\ 0, WGM \end{bmatrix} \begin{bmatrix} x_g \\ \theta \end{bmatrix} = \begin{bmatrix} P_{sw} \\ P_{ro} \end{bmatrix} \quad \dots \dots \dots (5)$$

$$\text{や①の方法; } \begin{bmatrix} M_0 \\ I_0 \end{bmatrix} \begin{bmatrix} \ddot{x}_g \\ \dot{\theta} \end{bmatrix} + \begin{bmatrix} O \\ WGM \end{bmatrix} \begin{bmatrix} x_g \\ \theta \end{bmatrix} = \begin{bmatrix} P_{sw} \\ P_{ro} \end{bmatrix} \quad \dots \dots \dots (6)$$

$$\begin{bmatrix} M_0 \\ I_0 \end{bmatrix} \begin{bmatrix} \ddot{\bar{x}}_g \\ \dot{\bar{\theta}} \end{bmatrix} + \begin{bmatrix} K_F - z_F K_F \\ 0, WGM \end{bmatrix} \begin{bmatrix} \bar{x}_g \\ \bar{\theta} \end{bmatrix} - \begin{bmatrix} F_0 \\ 0 \end{bmatrix} = \begin{bmatrix} Q_{sw} \\ Q_{ro} \end{bmatrix} \quad \dots \dots \dots (7)$$

$$\text{や②の方法; } \begin{bmatrix} M_0 \\ I_0 \end{bmatrix} \begin{bmatrix} \ddot{x}_g \\ \dot{\theta} \end{bmatrix} + \begin{bmatrix} O \\ WGM \end{bmatrix} \begin{bmatrix} x_g \\ \theta \end{bmatrix} = \begin{bmatrix} P_{sw} \\ P_{ro} \end{bmatrix} \quad \dots \dots \dots (8)$$

$$\begin{bmatrix} M_0 \\ I_0 \end{bmatrix} \begin{bmatrix} \ddot{\bar{x}}_g \\ \dot{\bar{\theta}} \end{bmatrix} + \begin{bmatrix} K_F - z_F K_F \\ 0, WGM \end{bmatrix} \begin{bmatrix} \bar{x}_g \\ \bar{\theta} \end{bmatrix} + \begin{bmatrix} K_F - z_F K_F \\ 0, 0 \end{bmatrix} \begin{bmatrix} x_g \\ \theta \end{bmatrix} - \begin{bmatrix} F_0 \\ 0 \end{bmatrix} = \begin{bmatrix} Q_{sw} \\ Q_{ro} \end{bmatrix} \quad \dots \dots \dots (9)$$

ここで(3)式は入射波によって励起される自由浮体の振動であり、(4)式の自由振動に束縛したものである。また

式(4)式はスエイングのみに保留索が関与し、防舷板の反撲力によって励起されるものである。一方(5)式

簡略化については、まず第①の方法が考えられるが、これ

は文献(1)の方法に相当するものである。第②の方法は

(8)式第3項における  $(x_g)$  の扱いが特徴であるが、 $(x_g)$  の大きさが入射波の波長と較べて微々たるものである：

とを考えると、こうした扱いも後入れられるものである。そうすると(3), (7)式より  $(x_g, \theta)$  振動成分は差等

振動を扱えよといふことになる。ここでは

第②の方法によって解析を行なうとする。

3  $(x_g, \theta)$  振動成分の解析  $(x_g, \theta)$  の正常振動は 井島<sup>(4)</sup> あるいは伊藤<sup>(5)</sup> が解析した浮防波堤などのための運動と同様となる。これらの研究では、水を完全流体とし微少振幅波理論の規則波を対象にして、前者では最適解を求め、後者では散乱波の影響を考慮して近似解を求めている。 $(x_g, \theta)$  振動成分を解析するに、対象とする入射波の特性を考えれば、こうした扱いでも物理が詳しいし、また実用的には後者の方法でもその適用範囲は留意すれば有用のようである。したがってここでは後者の方法に準じて  $(x_g, \theta)$  振動成分に対する波力および造波抵抗を求えると、船体の車体長さあたりについて(9)式のようになる。

$$\frac{P_{sw}}{P_{ro}} = - \begin{bmatrix} O \\ I_1 \end{bmatrix} \begin{bmatrix} \ddot{x}_g \\ \dot{\theta} \end{bmatrix} + \frac{1}{2} W \begin{bmatrix} \frac{l}{a} f_H \\ -f_M \end{bmatrix} \left( 1 + \frac{a_R}{a} - \frac{a_T}{a} \right) a e^{i \omega t} \quad \dots \dots \dots (9)$$

すなはち、入射波:  $\eta = a e^{i(\omega t + k(x+z))}$

$$I_1 = M_0 \frac{d^2}{dz^2} \left\{ \frac{l}{a} \left( \frac{e^{-kz}}{sinh k(a+z)} \right) \right\}$$

$$f_H = \frac{1}{a} \int_a^l \frac{\cosh k(a+z)}{\cosh ka} dz$$

$$f_M = \frac{1}{a} \int_{-d}^0 \frac{\cosh k(a+z)}{\cosh ka} dz + \frac{l}{3d} f_B$$

$$f_B = \frac{1}{a} \int_{-d}^0 \frac{\cosh k(a+z)}{\cosh ka} dz$$

$$\left( 1 + \frac{a_R}{a} - \frac{a_T}{a} \right) = \frac{z}{l - y_{BHR}}$$

$$y_{BHR} = \frac{g}{\sigma^2 l} \left\{ \frac{k(a-d)}{n} f_B^2 + \frac{kd}{n} f_H^2 \right\} + \frac{1}{(\sigma^2 - 1) \frac{GM}{n}} \frac{l}{a} \frac{kd}{a} f_M^2$$

$$n = \frac{1}{2} \left( 1 + \frac{2ka}{\sinh 2ka} \right)$$

$$(W_R)^2 = \frac{WGM}{I_0 + I_1}, \quad \bar{GM} = \frac{l^2}{3d} - \frac{d}{2} + z_0$$

ここで、(9)式第1項の  $I_1$  は座標域での付加質量慣性モーメントであり、第2項の  $\left( 1 + \frac{a_R}{a} - \frac{a_T}{a} \right)$  は波力係数とも呼べる性格のもので、スエイング・ローリングに共通して位相が入射波の周期に応じて変るものである。

そして対象とする入射波の周期が長いため、抵抗力の影響が殆んどないとみなせば、文献(1)に示す補正係数に相当するものである。

(P)から(9)式のように与えられると、 $(x_g, \theta)$  振動成分の応答は(10)式のようになる。

$$\begin{aligned} (x_g) &= -\frac{1}{2} \frac{g}{\sigma^2 l} f_H \left( 1 + \frac{a_R}{a} - \frac{a_T}{a} \right) a e^{i \omega t} \\ (\theta) &= \frac{1}{2} \frac{1}{(\sigma^2 - 1) \frac{GM}{n}} f_M \left( 1 + \frac{a_R}{a} - \frac{a_T}{a} \right) a e^{i \omega t} \end{aligned} \quad \dots \dots \dots (10)$$

**4 (X<sub>A</sub>, θ) 振動成分の解析** 防舷材と保留索の復元力特性が著しく相違することから (X<sub>A</sub>, θ) 振動成分を解析するための造波抵抗 (Q) は、(X<sub>A</sub>, θ) 振動成分の場合の波力および造波抵抗 (P) のようには導くことができない。しかし参考の意味から、(9) 式で手えらいろ (P) から入射波による波力を除いて造波抵抗の分を取り出すと、(11) 式のようになる。すなはち第 1 項は (9) 式と同様であり、第 2 項が造波抵抗およびそれに伴う付加質量効果であるが、(Q<sub>SW</sub>) の第 2 項は船体の復元モーメント較べて著しく小さい。そのため (θ) は大きく動かさることなく、(X<sub>A</sub>) のみを考慮すればよいことになる。またローリングの固有周期も、積載物の液体であるタンカーの傾心高 (GM) の評価が重要なことがあるが、(9) 式の (ω<sub>R</sub>) を評価してよいことがわかる。

$$\begin{cases} Q_{SW} \\ Q_{RO} \end{cases} = - \begin{cases} 0, \\ I_1, \end{cases} \left\{ \begin{array}{l} \ddot{x}_A \\ \dot{\theta} \end{array} \right\} + W \frac{kd}{n} \frac{i}{1-iY_B} \left[ \frac{-f_H^2}{f_H f_M}, f_H f_M, -k f_M^2 \right] \left\{ \begin{array}{l} x_A \\ \theta \end{array} \right\} \quad \dots (11)$$

$$\therefore Y_B = \frac{g}{\sigma^2 k} \frac{k(k-d)}{n} f_B^2$$

$$\therefore (Q_{SW}) \approx - \frac{W}{\ell} \frac{kd}{n} f_H^2 \frac{Y_B}{1+iY_B} \left( -1 + i \frac{1}{Y_B} \right) = -(\alpha + i\beta) \quad \dots \dots \dots (12)$$

i)  $(\bar{x}_A + x_A - z_F \theta) < 0$  の状態；

$$(M_0 + m_1) (\ddot{x}_A) + K_M (1 + i \frac{C_1}{K_M}) \{ (\bar{x}_A) - (\bar{x}_A)_0 \} - F_o = 0 \quad \dots \dots \dots (13)$$

ii)  $(\bar{x}_A + x_A - z_F \theta) > 0$  の状態；

$$(\bar{x}_A) = (\bar{x}_A)_T + (\bar{x}_A)_S \text{ とする} \text{と}, \begin{cases} (M_0 + m_2) (\ddot{x}_A)_T + K_F (1 + i \frac{C_2}{K_F}) \{ (\bar{x}_A)_T - (\bar{x}_A)_0 \} - F_o = 0 \\ (M_0 + m_2^*) (\ddot{x}_A)_S + K_F (1 + i \frac{C_2^*}{K_F}) \{ (\bar{x}_A)_S - (\bar{x}_A)_0 \} = -K_F / (\bar{x}_A)_0 + (x_A - z_F \theta) \end{cases} \quad \dots \dots \dots (14)$$

これらの式において、(m, C) の値をどのように与えるかが重要な課題であるが、(14) 式の左 1 式は船舶接岸時の挙動に相当するものであるから、(m<sub>2</sub>, C<sub>2</sub>) は船舶接岸時のデータを参考にして与えることができる。また (14) 式の右 2 式のみは入射波の周期に対する振動成分であるから、(m<sub>2</sub>, C<sub>2</sub>) を与えれば (12) 式で近似させることを考えられる。(m<sub>2</sub>, C<sub>2</sub>) については i) の状態の固有周期が非常に長く、付加質量効果の分が働くと計算されるので、(m<sub>2</sub>, C<sub>2</sub>) を与えられると、(m<sub>2</sub>, C<sub>2</sub>) を用いて (14) 式で近似させることを考えられる。ただし、このように振幅の大きな衝撃力によるけん引力に及ぼす影響を量的に調べながら検討する必要がある。なお (X<sub>A</sub>, θ) 振動成分の応答は、(K<sub>M</sub>), (K<sub>F</sub>) が非線形の係数であるから、ベネ定数を折線近似して線形解析を繰り返すことで求めることになる。

**5. 衝撃力とけん引力** この力の求め方順としては、まず所定の入射波における (X<sub>A</sub>, θ) 振動成分を、i) の状態の (X<sub>A</sub>) 振動成分に乗せて、衝撃力が最も著しくなる船体姿勢で防舷材に接触させる。そして ii) の状態の (X<sub>A</sub>) 振動成分を求め、同時に船体が防舷材から離れた時の (X<sub>A</sub>) 振動成分の速度、すなはち離岸速度を求める。この状況を模式的に描けば図-2 のようになる。統合してこの離岸速度に基づいて i) の状態の (X<sub>A</sub>) 振動成分を求め、同時に船体が防舷材に接触する時の接岸速度を求める。このようにして初めに設定した接岸速度と、その結果として後から求められた接岸速度が著しくなるようほどこうを探せば、それが船体・防舷材・保留索の挙動を表していることになる。このような場合における応答値を用いて、けん引力は (15) 式により、また衝撃力は (16) 式により得られる。ただし各ドルフィンに作用する力は、この力とそれを止めるトルクにたどり振り分けたものになり、また保留索の張力はさらに保留索ごとに振り分けられたものとなる。

i)  $(\bar{x}_A + x_A - z_F \theta) < 0$  の状態；

$$F_M = -F_o + K_M (\bar{x}_A + x_A - z_F \theta) \quad \dots \dots \dots (15)$$

ii)  $(\bar{x}_A + x_A - z_F \theta) > 0$  の状態；

$$F_F = K_F (\bar{x}_A + x_A - z_F \theta) \quad \dots \dots \dots \dots \dots (16)$$

したがって、ここでは (X<sub>A</sub>) のみを対象にすることとし、その造波抵抗は (12) 式のようにタイヤを考慮して、付加質量 (m), 造波抵抗減衰係数 (C) を用いると、運動方程式は (13) 式、(14) 式のようになります。ただし、i) の状態から ii) の状態へ、あるいは ii) の状態から i) の状態へ移行する時の初期値は、 $(\bar{x}_A)_0 = -(\bar{x}_A - z_F \theta)$  で与えられる。

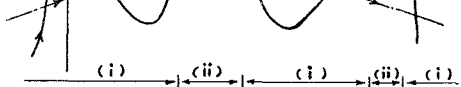


図-2 船体の防舷材接觸状況 模式図

6. 計算例 係留対象船舶として15~25t DWT タンカーを考え その代表例として約20t DWT タンカー(満載時)について計算してみる。船舶の諸元は  $(\frac{D}{L})=0.93$   $(\frac{d}{L})=0.7$   $(\frac{z_0}{L})=0.3$   $(\frac{\bar{G}M}{L})=0.4$   $(\frac{z_m}{L}) \approx 0.5$   $(\frac{z_e}{L})=0.4$   $(\frac{h}{L})=0.7$   $\Sigma W$ (満載排水トン)=244,000t  $W(z)pgdL=880t/m$   $M_0=90 \frac{t \cdot sec^2}{m}$   $I_0=22,700 \frac{t \cdot m \cdot sec^2}{m}$   $T_R(\frac{2\pi}{\omega_R})=12sec$  である。

$(x_4, \theta)$  振動成分の応答振幅は図-3に示す如くで、スエーインクがローリングト对外して  $(T < T_R)$  で逆位相、 $(T > T_R)$  で同位相となり、 $(T \approx T_R)$  でローリングが最大、 $(T=T_R)$  でスエーインクが0になるようである。またけん引力や衝撃力に関する係する船腹の横方向揺れは、これらの応答を重ね合せたものであり。 $(T=T_R)$  で極大値となるようである。ただししこのような応答状況において、 $(T \neq T_R)$ 付近ではローリングトによる船腹位置での上下動が著しく大きくなるため、その影響を別に考慮する必要がある。

次に防舷柱～係留索の復元力特性は図-4に示すものとし、 $(F_0 \frac{m}{M_0})=2$ ,  $c_1=0$  および  $(F_0 \frac{m}{M_0})=2$ ,  $c_2=0$ 、そして  $(m_0^*, c_0^*)$  は(42)式で与え、入射波が  $T=10sec$ ,  $(\frac{T_R}{T})=1.2$ ,  $H=2a=3m$  の場合について(元)振動成分の応答を求めてみる。i)の状態の  $(\bar{x}_4)$  は図-5に示す如くで、 $(c_1=0)$ としたことから離岸速度は次の接岸速度となり、また係留索の伸縮性能から接岸速度は  $0.3m/s$  より少ないとなることがわかる。一方 ii)の状態の  $(\bar{x}_4)$  は、接岸速度の初期値として  $0.2m/s$  を用い 図-2に示した扱いで船体の接岸挙動を考えると、図-6に示すようになる。同図に離岸時の速度が接岸速度を若干上回るが ii)の状態の造波抵抗が僅かな時間でも残っているとすれば、接岸速度を割りかねないところとなる。したがって図-2に示した程度の  $(F_f)$  が、このケースにおける衝撃力と発生することができる。

〈共同研究者〉  
鹿島建設技術研究所;  
野尻 陽一  
藤田 時男

- 〈参考文献〉  
 (1) 永井ほか; 第16回国海岸工学講演会講演集(1969)  
 (2) 合田ほか; 港研報告 第12巻4号(1973)

- (3) 齋本ほか; 港研講演会講演集(1973), (4) 井島ほか; 土木学会論文集202号(1972), (5) 伊藤ほか; 港研報告第11巻2号(1972)

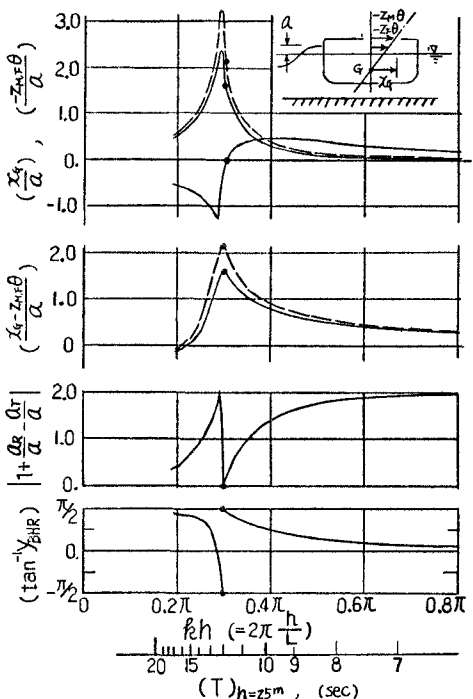


図-3  $(x_4, \theta)$  の応答振幅、波力係数、位相特性

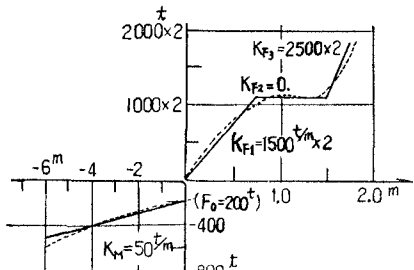


図-4 係留索、防舷柱の復元力特性

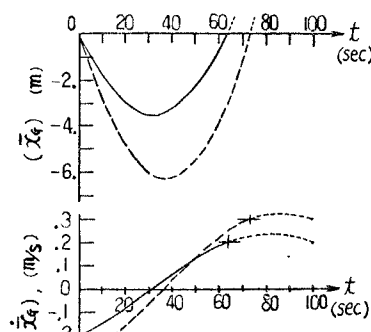


図-5 i)の状態における  $(\bar{x}_4)$  と  $(\dot{x}_4)$  の応答

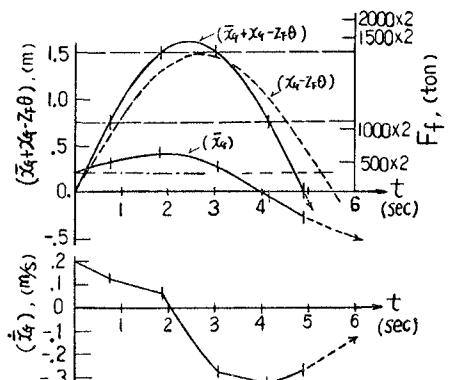


図-6 ii)の状態における  $(\bar{x}_4 + z_0 \theta - \bar{z}_0 \theta)$ ,  $(\bar{x}_4)$  と  $(F_f)$